

# Doğu Anadolu Fayı Üzerinde Küçük Deprem Çalışmaları

AHMET ERCAN

Istanbul Teknik Üniversitesi, Maden Fakültesi, Jeofizik Kürsüsü

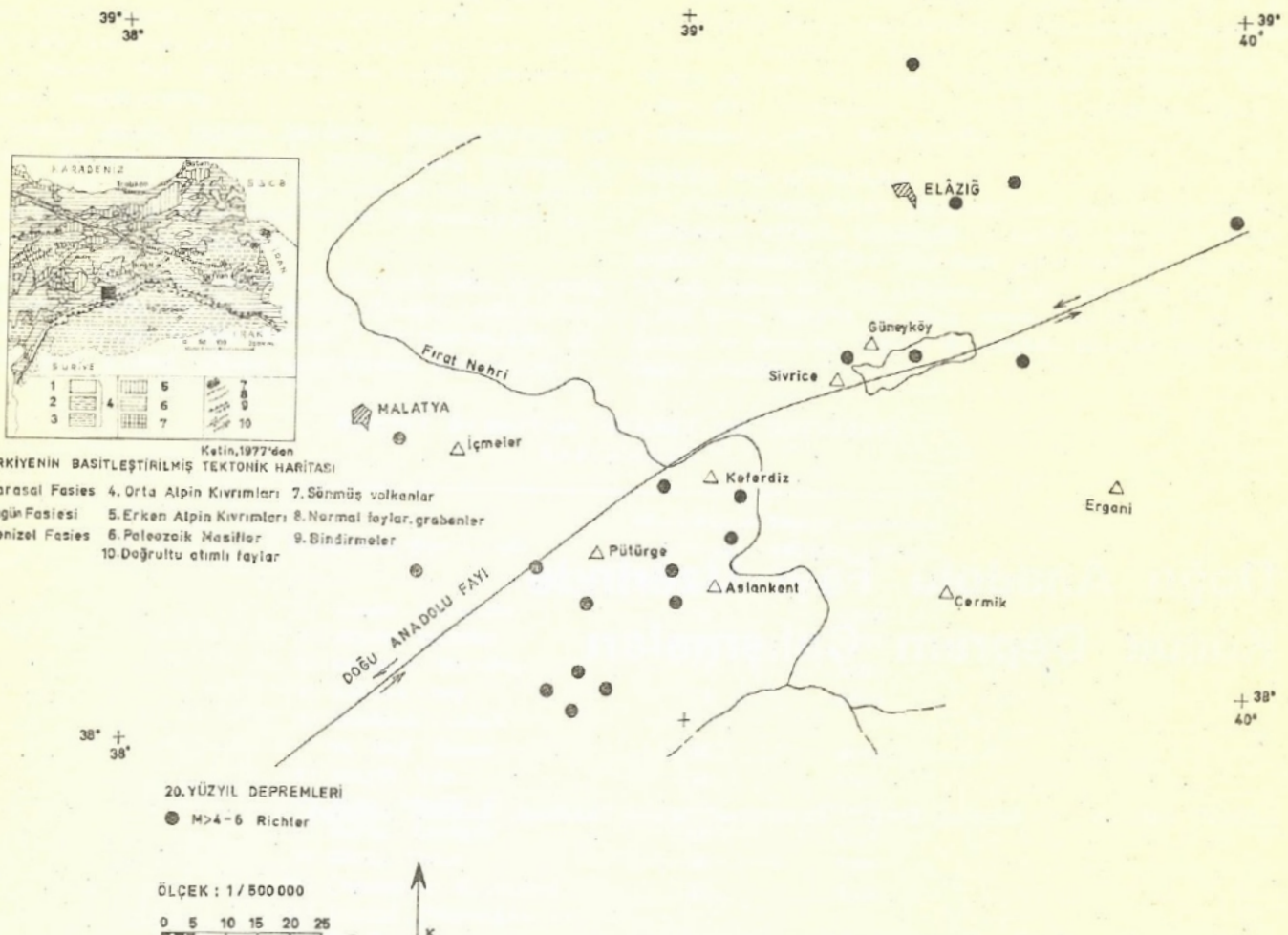
**ÖZ:** Doğu Anadolu fayının  $39^{\circ}$ - $38^{\circ}$  enlemleri ve  $38^{\circ}$ - $40^{\circ}$  boyamları arasında, Malatya-Pütürge kazası çevresinde, 105 gün süre ile yapılan küçükdeprem (microearthquake) çalışmaları, bölgede günde ortalama 5 tane, büyüklüğü 3'ten küçük sarsıntı olduğunu göstermektedir. Toplu fay düzlemi bulguları, atımın sol yönlü olduğunu göstermeyecektir ve ikincil fayların birçoğunda da atım yönünün ana faya uygun olabileceği sanılmaktadır. Gerilim boşalmanın çoğunlukla ana fay boyunca uzanması ve günde  $10^{16}$  erg'lik etkinlik, fayın dinlenme süresinde canlılığını koruduğunu kanıtlamaktadır. Şiro çayı ile Fırat nehrinin kesiştiği Doğanyol bucağı çevresi, bölgede fayın en devingen olduğu ve karmaşık atımların toplandığı yer görünümündedir.

**ABSTRACT:** During the summer of 1977, three high-frequency, high-gain, and portable seismographs were operated, in latitudes of  $38^{\circ}$ - $39^{\circ}$  and in longitudes of  $38^{\circ}$ - $40^{\circ}$ , around city of Pütürge of Malatya province, in Turkey. These 105 days long microearthquake recordings indicated daily average of 5 events, with the magnitudes less than 3. This activity had a 'b' value of 1.168 over 1.5 units of magnitude. A close correspondence was found between the major fault and high microearthquake activity. The composite fault plane solution confirmed a left handed strike-slip motions, for the most of secondary faults. Average daily energy release of  $10^{16}$  erg and explicit alignment of strain-release contours along the East Anatolian Fault were some indications of continuous tectonic activity, in the region, in the quiet period. The highest activity, in the area, recorded was about town of Doğanyol, situated at approximately crossing point of two rivers, named Fırat and Şiro, flowing on the top the major fault trace.

## GİRİŞ

Doğu Anadolu Fayı, kuzeyde Karlıova'dan başlayarak güneybatıya doğru uzanan ve Anadolu levhasını sınırlayan önemli bir tektonik oluşumudur (Arpat ve Saroğlu, 1975; Vine, 1966; McKenzie, 1970a,b; Khan, 1975; Arpat, 1977). Sol yönlü doğrultu atımlı bu fayın canlılığını koruduğu belirtilerinin gözlenen genç yüzeysel değişiklikler ve fay boyunca rastlanan kentsel kalıntılar olduğu değinilmiştir (Arpat, 1977). Nitekim, aygıtsal deprem algılarının başladığı

20. yüzyıl başlarından beri fayın yalnız küçük bir parçasını oluşturan  $38^{\circ}$ - $39^{\circ}$  enlemleri ve  $38^{\circ}$ - $40^{\circ}$  boyamları arasındaki alanda 14 tane 4.5'dan büyük depremlerin gözlenmesi (Ergin v.d., 1967), bölgede gerilimin yaklaşık 5 yılda bir boşalığı izlenimini uyandırmaktadır. Günümüzde suskunluk döneminde olan fayın Pütürge-Sivrice bölümünün gerilim durumunu incelemek üzere, üç aylık kısa bir süre için yukarıda verilen sınırlar içinde küçükdeprem çalışmaları Temmuz 1977'den Ekim 1977'ye degen sürdürülmüştür (Şekil 1).



Sekil 1: Doğu Anadolu Fayı boyunca küçükdeprem çalışmalarının sürdürdüğü geniş alan. (Ketin, 1977'den)

## DEPREM GÖZLEM YERLERİ VE KULLANILAN AYGITLAR

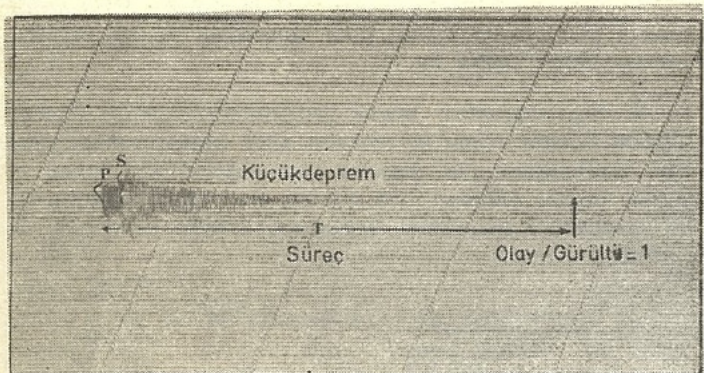
Massachusetts Institute of Technology ve İstanbul Teknik Üniversitesi aygıtosal olanaklarının kullanıldığı bu çalışmada, elde bulunan üç Sprengnether MEQ - 800 kısa dönemli, yüksek kazançlı, taşınabilir deprem alıcı takımı (kaydırıcı, sismometre ve WWVT radyo) fayı içine alacak biçimde, kenarları yaklaşık 90'ar kilometrellik bir üçgenin köşelerine yerleştirilmiştir. Gözlem yerleri; kuzeyde Hazar Göllü kıyısında Güneyköy (Elâzığ), batıda İspendere içmeleri (Malatya) ve güneyde faya 5 kilometre uzakta bulunan Pütürge (Malatya) kentleridir (Şekil 1). Sonraları çok küçük depremleri de algılayabilme amacıyla üçgenin iki ayağı Doğanyol ve Aslankent'e (Malatya) taşınmıştır. Bunlarla birlikte Pütürge özelliği yaklaşık 18 kilometre yarıçaplı, altı noktalı, teybe alıcı uzak iletişim (Radio-link) dizgesi de kurulmuştur. Burada sunulan bilgiler yalnız taşınır alıcılardan elde edilen bilgileri kapsamaktadır.

Richter büyüklükleri (magnitudes) 4'ten küçük ve dönenleri yaklaşık 0.1 saniyeden 3 saniyeye değişen, küçükdeprem olaylarını algılayabilmek için alıcıların süzücüler (filters) 0.5 ile 5 hertz arasında en dengeli tepkiyi ve

rebbecek biçimde ayarlanmıştır. 30 cm'lik tamburları olan yazıcılar 2 mm gizgi aralığı ve 60 mm/dakika hızla 20 saat sürekli algılama yapabilecek özelliktedir. Aygıtlar 60'dan 120 dB'le degen değişen yüksek kazançlı yükselticiler kademelemini içermektedir. Bu kademelelerden 90 dB olam, olay/gürültü oranına göre gevresel gürültüleri ayırdedebilecek nitelikte olduğu için algılama süresince kullanılmış, sürekli algılamayı sağlamak amacıyla da ±24 voltlu oto aküler ile dıştan besleme yapılmıştır. 1 saniye öz dönenli sismometreler taşıt gürültülerinden en az 1 km uzağa ve düzlenmiş kökü kayalar üzerine yerleştirilmiştir. Zamanlama; her kâğıt değişiminde, 5, 10, 15 Mhz'de yayın yapan WWVT radyoları ile yapılmıştır. Ölçü süresince aygıtların saatleri ile ilgili herhangi bir sorunla karşılaşılmamıştır.

## DEPREMLERİN BÜYÜKLÜKLERİ VE OLUŞAN SAYILAR

105 günlük çalışma süresinde algılanan Richter ölçüne göre en büyük deprem 3.3 ve en küçük deprem ise 0.5 büyüklüğündedir. Küçük depremler bir bölgenin sarsılığını (seismicity) simgeleyen sık ve küçük erik boşalmalarıdır. Bu depremler kısa dönemleri (0.1-5 saniye) ya da sık-

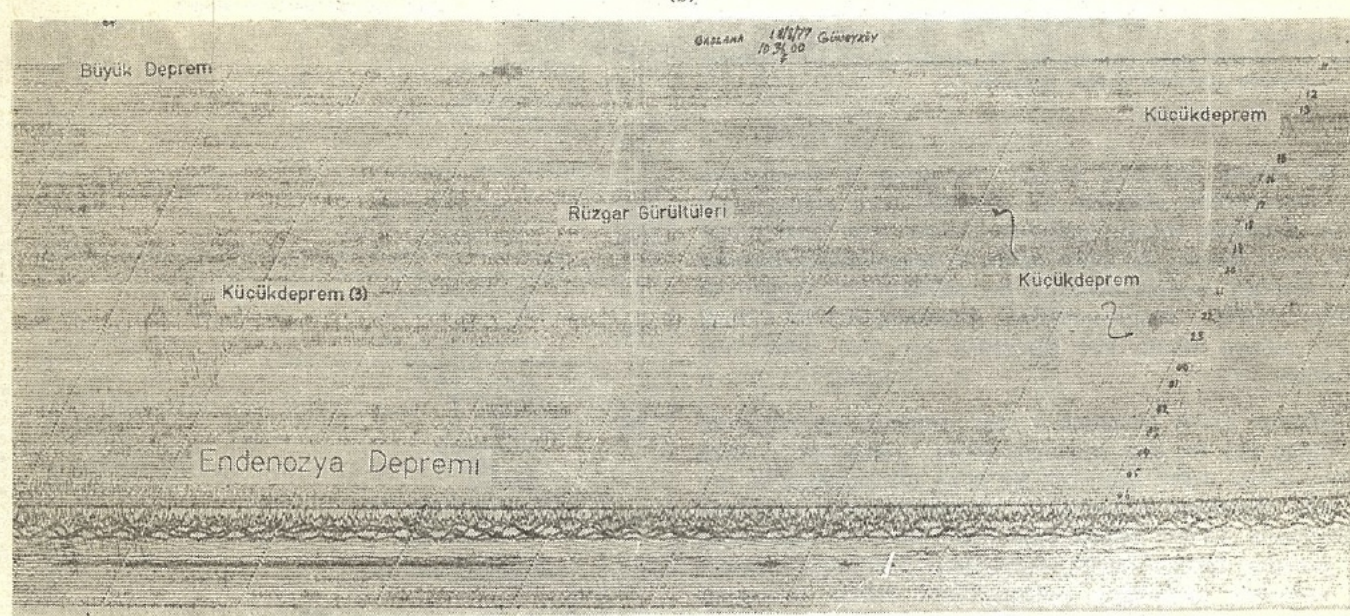
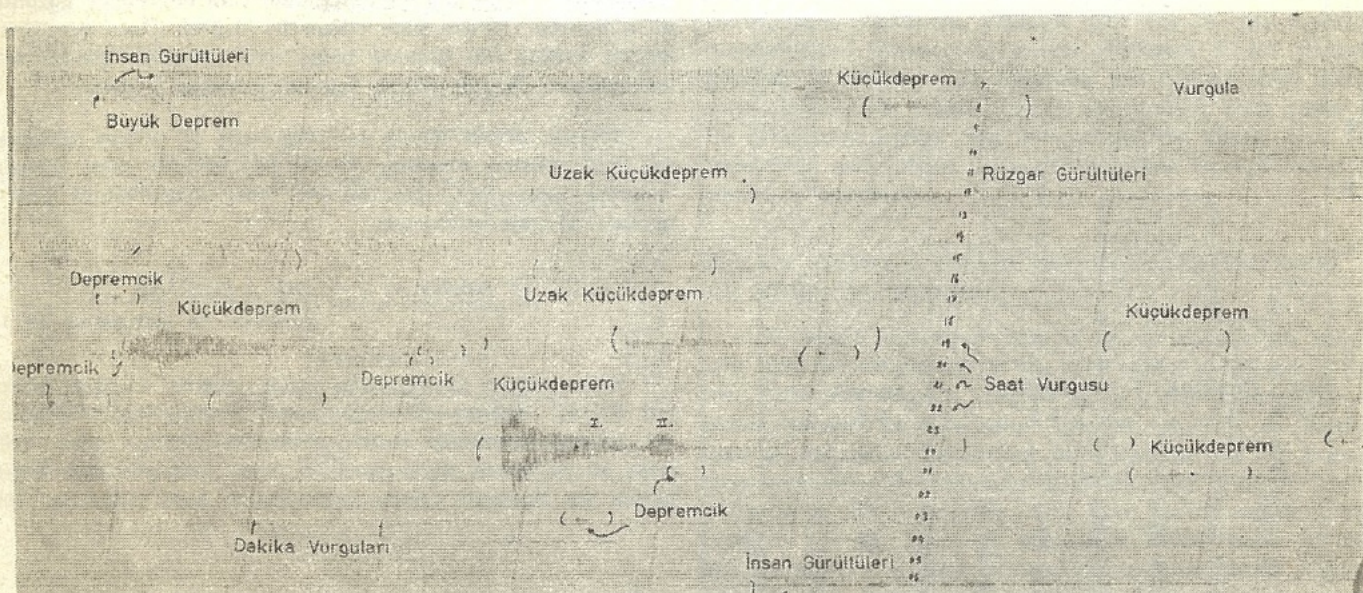


likleri (0.2-10 salınım/saniye) ve çabuk sönmülenmeleri ile büyük depremlerden ayırt edilebilirler (Şekil 2 a, b, c).

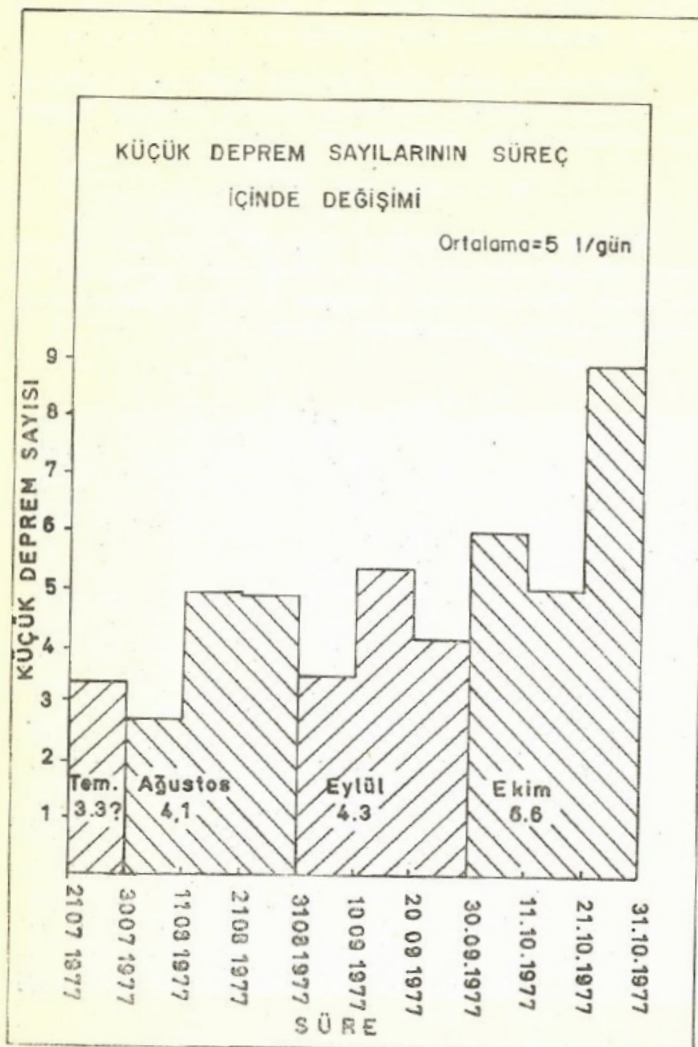
Depremlerle çikan erkin ölçüsüne bağlı olan büyüklükler, oluşumun sönmüş sürecinden, izleyen deneyel bağıntının kullanılmasıyla bulunmuştur.

$$M = -0.83 + 1.59 \log_{10} (\text{Süreç})$$

Bu bağıntının katsayıları, 1973-1974 yılları arasında迦拿 bölgesi yakınında yapılan araştırmalar sonucunda elde edilen Wood-Anderson'a eşlenik, 3 ayrı bağıntının ortalamasını alarak çikitılmıştır (Alsan, 1975).



Şekil 2: Kısa dönemli örnek küçükdeprem algıları. Küçükdepremler P ve S evrilerinden ve sönmülerinden tamamlar. Depremciklerin süreleri göreceli olarak daha küçüktür. Zaman vurguları her dakikada ve saatte vurulur. İki vurgu arasındaki uzaklık 60 mm dir. Her saat başında bir ise vurgu genişliği artar. a — Örnek bir büyükdeprem ve birimleri. b — Bir günlük algı ve üzerindeki olaylar. c — Çok gürültülü ve büyük olaylar içeren ilginç bir algı.



Sekil 3: Küçükdeprem sayılarında 10 günlük toplamlar gözönüne alınarak çıkarılan zaman değişimi.

Bir küçük depremin süreci; ilk gelen P dalgasından ( $P_g$ ) olay/gürültü oranının 1'e düşüğü yere degen geçen saniye türünden zaman aralığıdır. Ancak bazı araştırmacılar süreç sınırları olarak, ilk gelen dalga ile olay/gürültü oranının 4/1'e düşüğü zaman aralığını da almaktadır (Combs ve Hadley, 1977). Değerlendirilen küçükdepremlerin tümü (ts-tp) zaman aralığı 12.5 saniyeden dar olan yakın depremlerdir.

Bölgelerde günde ortalama 5 tane küçükdeprem olmaktadır (Şekil 3). Bu sayı yaz aylarından sonbahara doğru 3.3'den 6.6'ya degen doğrusal bir artış göstermektedir. Şekil 4'te gösterilen depremlerin oluşum-büyüklük dağılımı, düzeneklerin 1.5'dan büyük olan depremleri iyi algılamasının yanısına 1.5'dan küçük depremleri gürültüye karışıkları nedeniyle kaçırdığını belirtmektedir. Küçük depremlerin günlerde göre dağılmı ise uzak ve büyük depremlerle karşılaştırmalı olarak Şekil 5 a, b, c'de verilmektedir. Bu dağılımın yaklaşık 11 ve 27.7 günlük dönemsel artışları igerliğinin belirtileri Fourier genlik spektrumundan gözlense de, şirenen kısalığı bu dönemselliklerin gelgit ve yarıyaylık

gerilim olayları ile ilişkili olup olmadığını açıkça kanıtlayamamaktadır (Şekil 6).

M büyüklüğünden büyük depremlerin toplam oluşum sayısını belirten N'nin 10 tabanına göre logaritmasının, deprem büyüklüğine göre değişimi olan dağılımı uygulanan en küçük kareler yöntemi, 105 günlük veri için büyüklik-sıklık (magnitude-frequency) bağıntısını izleyen katsayılar ile vermiştir:

$$\log_{10} N = 4.414 - 1.168 M$$

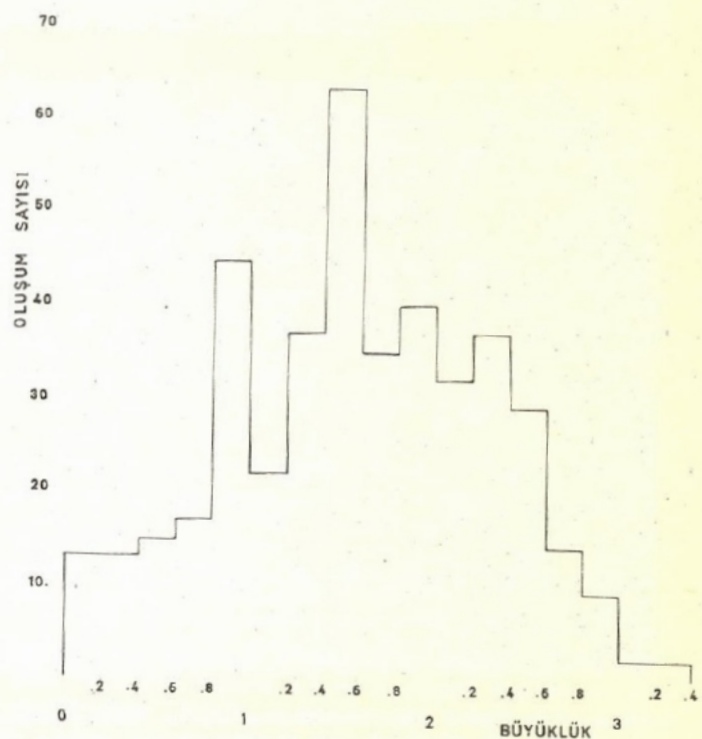
Ortamın etkinliğini simgeleyen  $b = 1.168$  değerinin saptanmasında 1.5 ile 3.3 büyülüğünde olan depremler gözönüne alınmıştır. "b"nin elde edilen bu değeri, Üçer ve diğerlerince (1974) söz konusu bölge için büyük depremlerin kullanılması ile elde edilen değerin yaklaşık 2 katıdır.

Bölgelerde M'den büyük bir depremin, D zaman aralığında (yıl) oluşma olasılığı, P (M, D), üzerine bilgi izleyen "deprem çekincesi" (Earthquake risk) bağıntısının kullanılması ile elde edilebilir.

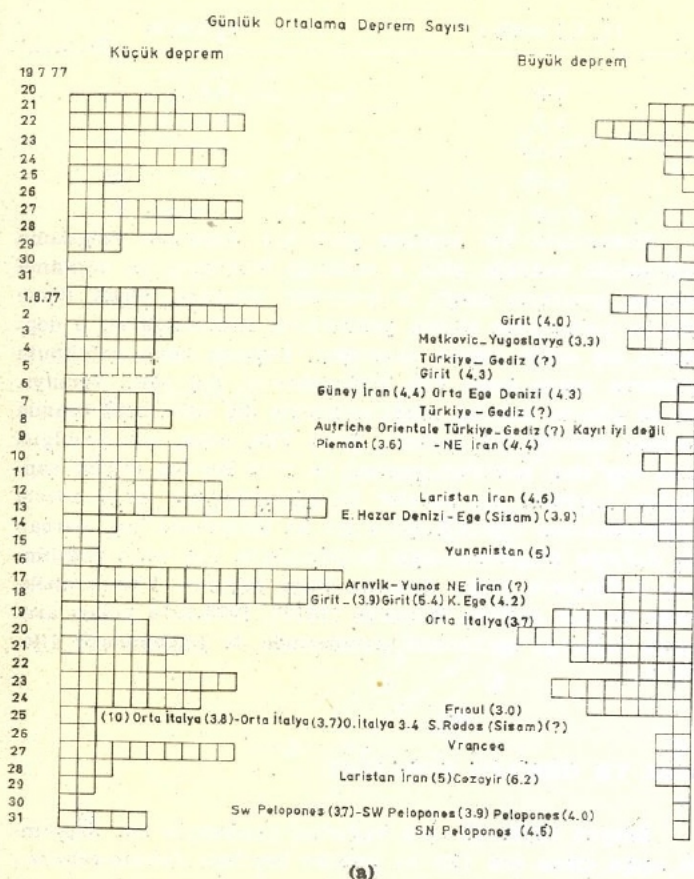
$$(P(M, D) = 1 - \exp(-N(M)D))$$

(Tabban ve Gencoğlu, 1975)

M'den büyük depremlerin yıllık oluşum sıklığını belirten N (M) değeri, (2) bağıntısında verilmektedir. Değinden zaman - büyülüklük - sınırlı - gözlemebilgiye göre, bölgede, 30 yıl içinde %100 olasılıkla 5'ten, %26 olasılıkla 6'dan büyük bir depremin olması beklenebilir. Aynı bağıntılar 100



Sekil 4: Doğu Anadolu Fayı yöresinde küçük deprem oluşumlarının büyülüklüklerinin değişimi.

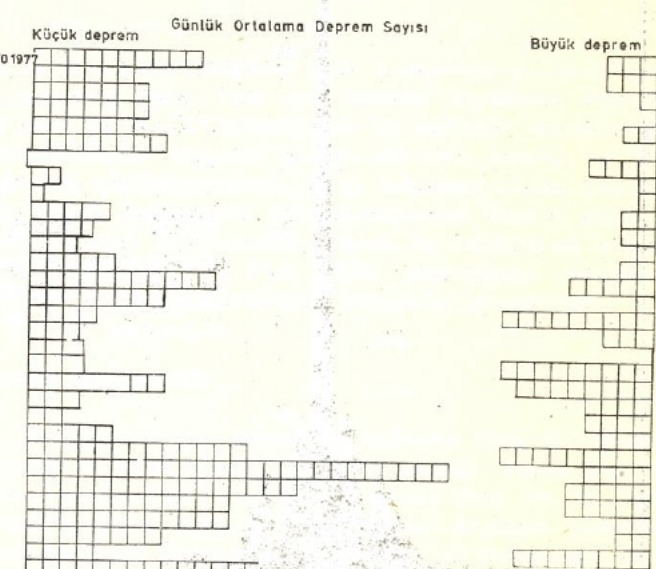
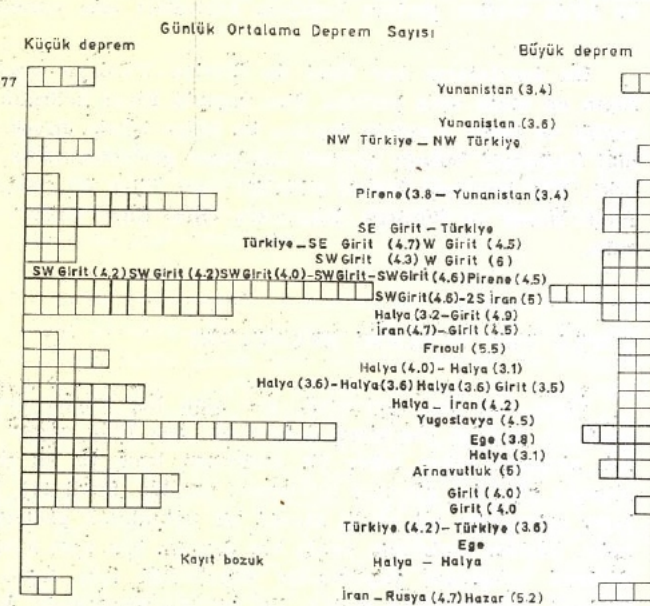


yıllık dönemde 6'dan büyük bir deprem olasılığının %63 olduğunu belirtmektedir. Bununla birlikte çağdaş ve 4'ten büyük depremleri inceleyerek sürdürulen çalışmalarında Tabban ve Gencooglu (1975) bölgelerde, 100 yıl igin 7.5'dan büyük deprem olma olasılığının %58 ve bu büyülükteki depremlerin dönemselliliğinin yaklaşık 115 yıl olduğunu belirtmişlerdir. Ancak, bölge sınırları içine Doğu Anadolu Fayının yanısıra, Kuzey Anadolu Fayı özelliklerini içeren Güney Van Fayalarının da alınmış olması nedeniyle bulunan dönemsellik değerinin daha durgun olan Doğu Fayı için beklenenden küçük, olasılık değerinin ise beklenenden büyük çıktıgı izlenimini uyandırmaktadır.

Bölgelik tektonizma ile ilgili küçük depremlerin aylara bağlı olarak bir değişim göstermediği samlsa da, ortam en çok gerilim boşalmını yaklaşık  $10^{18}$  erg ile yaz aylarında yapmaktadır. Bunun açık kanıtı algılanan 2.7-3.3 büyüklüğündeki 13 depremin 12 tanesinin yaz dönemi içine düşmesidir. Sonbaharda küçük deprem sayısındaki artış günde 6.6 ile ortalamayı aşmış olsa bile içerdikleri küçük erg, bunların daha çok yöresel artık gerilimlerden kaynaklandığı düşüncesini uyandırır.

#### KÜÇÜK DEPREM ODAKLARININ ARAŞTIRILMASI VE HIZIN SAPTANMASI

Bir küçük depremin odağını en az yarlığı ile bulmak için aynı bir olayın en az üç ayrı yerden gözlenmesi, gözlemlen yerlerinin deprem odağına göre konumunun uygun seçilimi olması, zamanlanmanın güvenli yapılmış ve ortamın deprem dalgasını yayındırma özelliklerinin çok iyi bilinmiş olması gereklidir. Uygulamada derinlige göre ortamda 4.6'dan 6 km/sn'ye degen değişen ayrı ayrı hızlar seçildi. Yakın odaklar için ilk gelen  $P_g$  dalgasının hızını, kaba da olsa, deneme-yanılma yaklaşımı ile saptamak için küçük depremlerin kaynağı olduğu sanılan Doğu Anadolu Fayının 5 ki-



Sekil 5: a, b, c. Algılama süresince küçük ve büyük depremlerin sayısında günlük değişim, Sağdakiler yakın küçükdepremler ( $t_s \rightarrow t_p$ : 12.5-sn'den küçük), soldakiler uzak büyükdepremler ve ortadakiler o. gün oluşturduğu bildirilen büyükdepremler.

lometrelilik çevresine deprem alıcılar yerleştirildi. Belli bir süre algılama sonunda, depremlerden en küçük " $t_s - t_p$ " aralığını içerenlerin (+1 saniye), o yörede gözlem yerlerine en yakın olan deprem kaynağını simgelediği var sayıldı ( $x = 5 \text{ km}$ ). Sig odak olduğu var sayılan küçükdepremin en iyi konumunu veren üç çemberin bir noktada kesişme koşulu elde edilinceye değin Wadati çizelgesi aracılığı ile Poisson oranı değiştirilerek en iyi orijin zamanı değeri ve Poisson oranı saptandı. Daha sonra uzaklığın  $t_p$ 'ye bölünmesi ile  $V_p$  hızı yaklaşık olarak elde edildi. Bu işlemlerde kullanılan bağıntı;

$$x = [\sqrt{\frac{2(1-r)}{(1-2r)}} - 1]^{-1} \cdot V_p \cdot t_{sp}$$

dir. Bulunan Poisson oranı  $r = 0.28$  ve yakın çevresi için en uygun  $P_g$  dalgası hızı  $V_p = 4.6 \text{ km/sn}$  dir. Bu bulgular uyarınca tüm depremler için  $x$  odak uzaklığını bulmada izlenen deneysel bağıntı kullanılmıştır.

$$x = 1.236 V_p \cdot t_{sp}$$

Sig ve yakın depremler için  $V_p = 4.6-5$  yeterli büyüklikte sayılabilirken karşın  $(t_s - t_p)$  aralığının genişlemesine koşut olarak artan odak uzaklıkları için kullanılan hız değerlerinin arttırılması gereklidir. Bu nedenle değişen  $(t_s - t_p)$  aralığı için izleyen hız kesiti benimsenmiştir.

$(t_s - t_p)$ saniye	$V_p \text{ km/sn}$
0-3	4.6-5
3-5	5.0-5.2
5-10	5.5
10-	6

Yukarıdaki hız kesitine göre her depremin algılama noktasında uzaklıği olan  $x$  uzaklığı bulunmuş ve algılama noktası çemberin özeği,  $x$  çemberin yarıçapı olmak üzere gözlem yerlerinden çizilen çemberlerin kesim noktası o depremin dış odağı olarak alınmıştır. Deprem odak dağılımını gösteren sonuc Şekil 7'de verilmektedir. Sig odak varsayımlı ve gözlem noktası azağı nedeniyle dış odak belli oranda kaymış olabilir. Bu nedenle, Şekil 7'de, odak yeri yanılığı  $\pm 15 \text{ km}$  olan noktalar çember ile  $\pm 15 \text{ km}$  den büyük sapmalari içerenler ise kareler ile gösterilmiştir. Depremlerin büyüklüklerine ilişkin bilgiler ise bu simgelerin boş, parçalı ya da dolu gölgelenmesiyle belirtilmiştir. Dış odak dağılımları yoğunlukla Doğu Anadolu Fay boyunca kümelenmektedir. Benzer dağılm Alsan'ın (1975), 1973-1974 yılları arasında topladığı verilerinin çizimlerinde de gözlenmiştir (Şekil 8).

#### ERK VE GERİLİM BOŞALIMI

Izleyen büyülük-erk bağıntısı yardımıyla her depremde açığa çıkan erk (E) ve gerilim boşalımı (strain-release -  $\log_{10} E$ ) saptanmıştır.

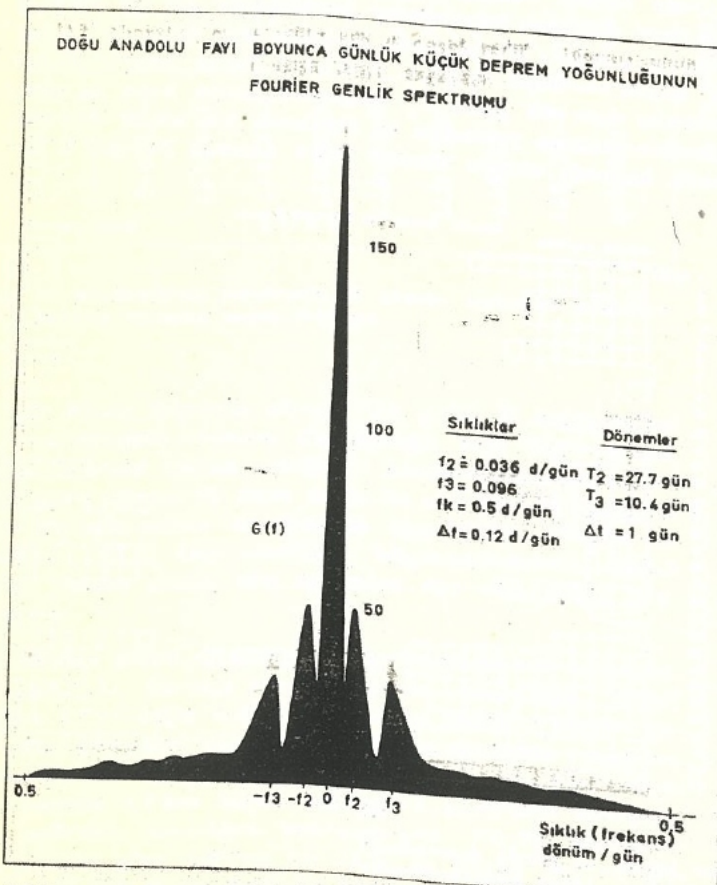
$$\log_{10} E = 9.4 + 2.14 M - 0.054 M^2$$

Eş gerilim boşaltan noktaların birleştirilmesiyle Şekil 9 ve 10'da verilen gerilim boşalımı haritaları elde edilmiştir.

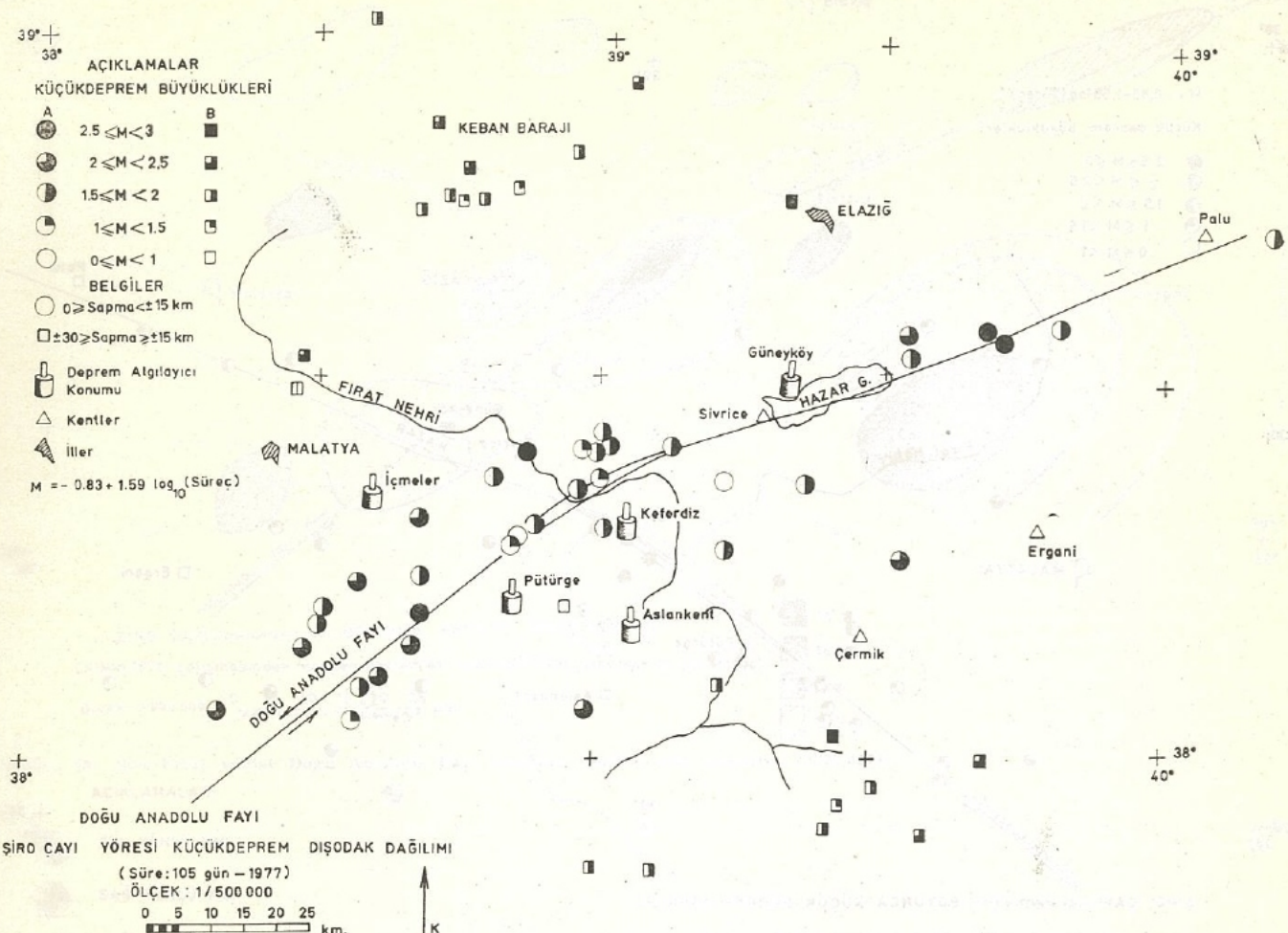
Bu haritaların her ikisi de Sivrice-Pütürge arasında fayın en etkin olan yerinin, Şiro çayıyla Fırat nehrinin kesiştiği ve Doğu Anadolu fayının bu bölge içinde direk verdiği Doğanyol buçağı çevresi olduğunu göstermektedir (10° erk), Fay boyunca önemli etkinliği olan diğer iki parça ise Palu-Hazar ve Pütürge-Basmezra (Şiro Çayı Vadisi) arasındır.

#### TOPLU FAY DÜZLEMİ BULGULARI

Once ana fay çevresinde yer alan her küçük deprem odağının gerilim çizgisinin doğrultusu ana faya uygun olarak alınarak teker teker ilk vurgunun itme ya da çekme oluşuna göre bir güvence incelemesi yapıldı (Şekil 11). Bulaların yoğunluğu sol yönlü atımla bir uyumluluk göstermektedir. Gözlem yerlerinin azağı her deprem için ayrı ayrı fay düzlemi çalışması yapılmasını engellediği için toplu fay düzlemi incelenmesine gidildi. Bu çalışma sonucunda, küçük depremlerin ilk vurgu itme - çekme özelliklerinin kuzyeye yaklaşık 77° açı yapan bir gerilim çizgisine uyarlı olarak toplandıkları gözleendi (Şekil 12). Bu nedenle, ana fay boyunca oluşan kırıkların da özelliğinin yoğunlukla sol atımlı olabileceğini söyleyebilir.



Şekil 6: Günlük küçükdeprem oluşum sayısının Fourier genlik spektrumu.



Sekil 7: Şiro-Fırat vadisi Doğu Anadolu Fayı boyunca küçükdeprem ve dış odakların yerel dağılımları.

## SONUÇLAR

Doğu Anadolu Fayının Şiro Çayı - Fırat Nehri kesimi etkindir. Bu bölgede birçok küçükdeprem olmaktadır. Depremlerin mekanizmaları daha çok sol yönlü bir yatay atma uygunluk göstermektedir.

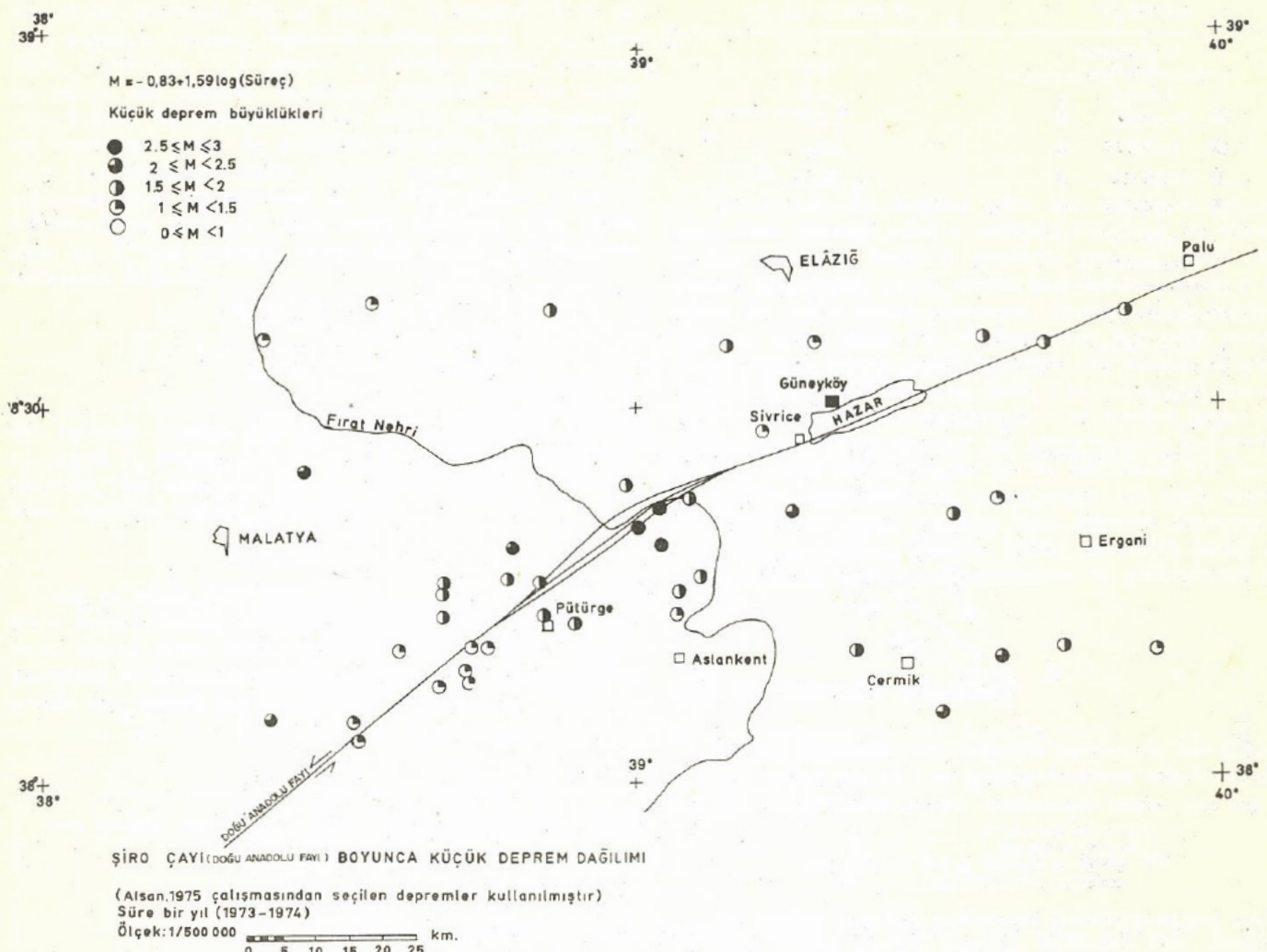
Üç aylık gözlemlerden saptanan deprem erki yılda 1.23 10<sup>18</sup> erg'e yakındır. Bu ortalama büyüklüğü  $M = 4.5$  olan bir depremle aşağı çıkan erke denktir. Ancak, bu bölgedeki küçükdepremlerin toplam erkinin ne kadarını harcadığını kestirme olanağı yoktur. Nitekim son 60 yılda Doğu Anadolu Fayının bu dar bölgesinde 4.5'dan büyük 14 tane depremin gözlenmesi kabaca, bölgede 5 büyükliğinde bir büyükdeprem olması için gereken hazırlanma süresinin yaklaşık 5 yıl olduğunu belirtmektedir. Sözü edilen geçmişteki bu depremler ve 1977 Mart ayında oluşan  $M = 5$  büyükliğindeki Palu depremi, bütün erkin yalnız küçükdepremlerle aşağı çıktıgı olasılığını ortadan kaldırmaktadır.

Bizim kısa süreli çalışmalarla bulunan "b" değeri (1.168) kullanılırsa, o bölgede olabilecek depremlerin büyüklükleri ve dönemsellikleri üzerine istatistiksel bir bilgi edinilebilir.

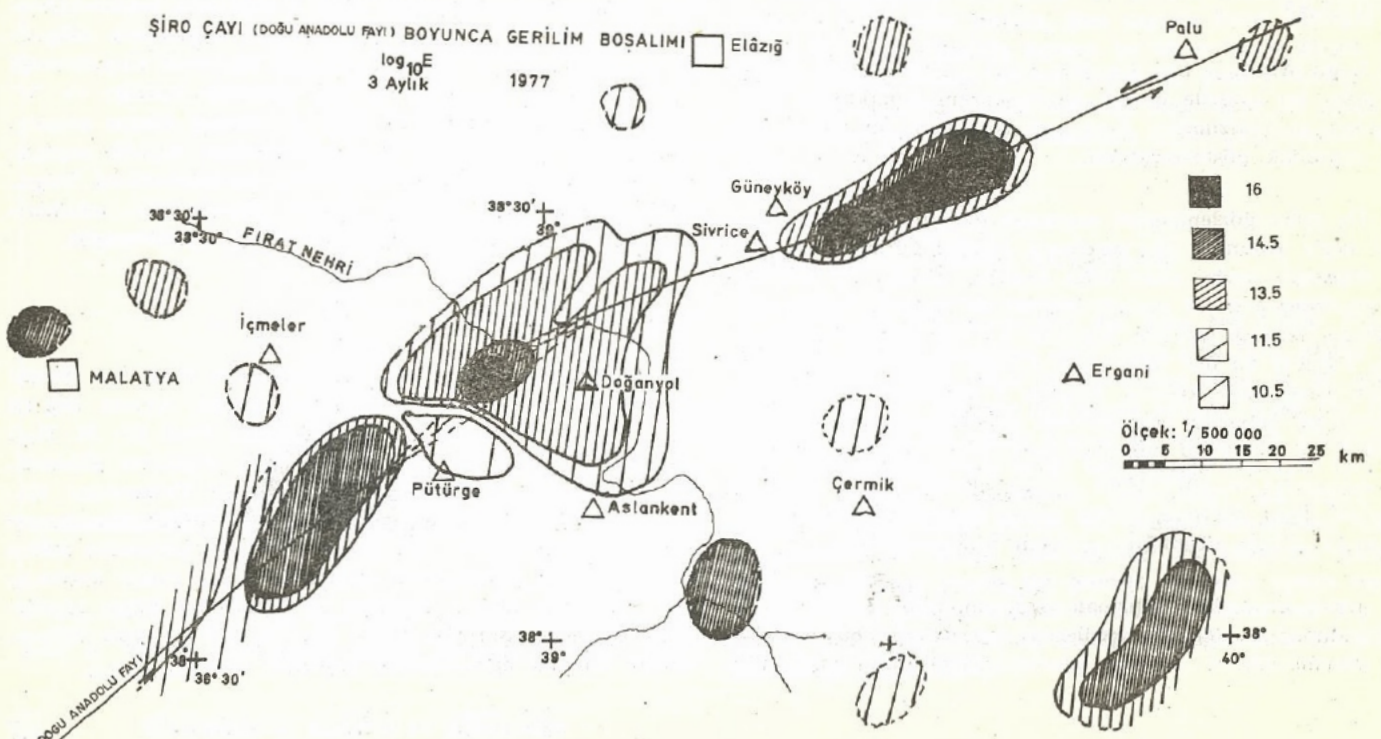
Bu da  $M = 4$  büyüğünde yılda 2 depremin beklenebileceğini sonucunu verir. Yine aynı verilere dayanarak bölgede 6.6 yılda bir  $M = 5$  büyüğünde bir depremin oluşabileceği kestirilmektedir. Aygıtal gözlem süresinin kıslığı ve "b" değerinin küçükdepremlerle ( $M 4$ ) bulunmuş olması geçmişteki büyük depremlerin dönemselliklerinin duyarlı saptanmasına olanak tanımaz. Ancak, bu istatistiksel bulgularla, oluşagelen 5 ve 5'ten küçük depremlerin sıklıkları arasında iyi bir uyumluluğun bulunduğu gözlenmiştir.

## KATKI BELİRTME

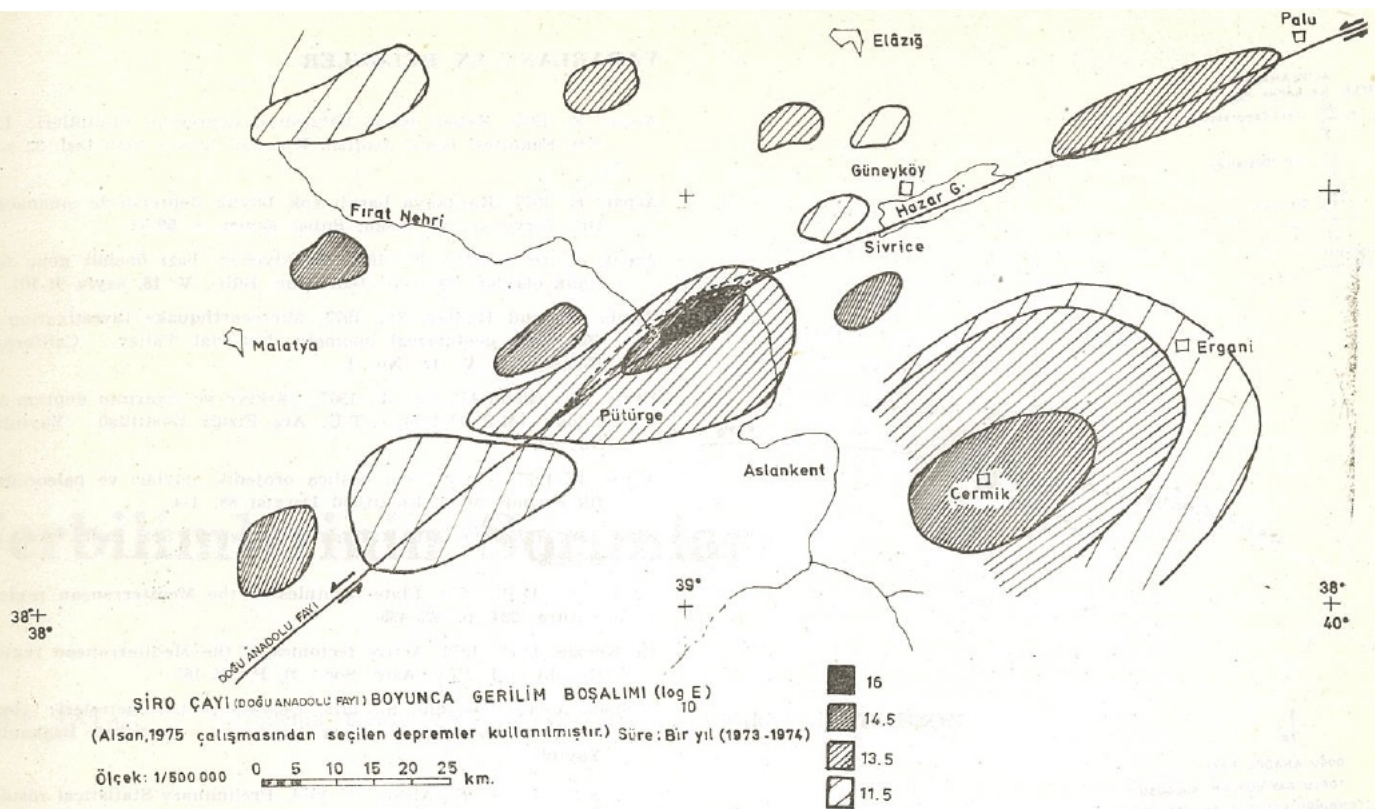
Bu tasarımin gerçekleşmesini sağlayan Prof. Dr. Nezih Canitez ve Esen Arpat'a teşekkür ederim. Ayrıca değerli yorum ve önerileri ile çalışmaya katılan Prof. Dr. M. Nafi Toksoz'un yakın ilgisi için minnettarım. Algılama düzeneklerini sağlayan Massachusetts Institute of Technology, Karadeniz Teknik Üniversitesi ve M.E.B. Kandilli Rasathanesi adına Balamir Üger'e, tezi ile ilgili verileri kullanıma sunan Esen Alsan'a, çalışmaların sürdürülmesinde yakın desteklerini gördüğüm M.T.A. Malatya ve Diyarbakır Bölge Müdürlüklerine, Fuat Saroğlu, Halit Sav ve İTÜ Jeofizik Mühendisliği Bölümü öğrencilerine teşekkür ederim.



Sekil 8: (1973-1974) yılları arasında çalışmalarıdan seçilen, Siro-Fırat vadisi Doğu Anadolu Fayı boyunca küçükdeprem büyüklükleri ve dış odakların yerel dağılımları.

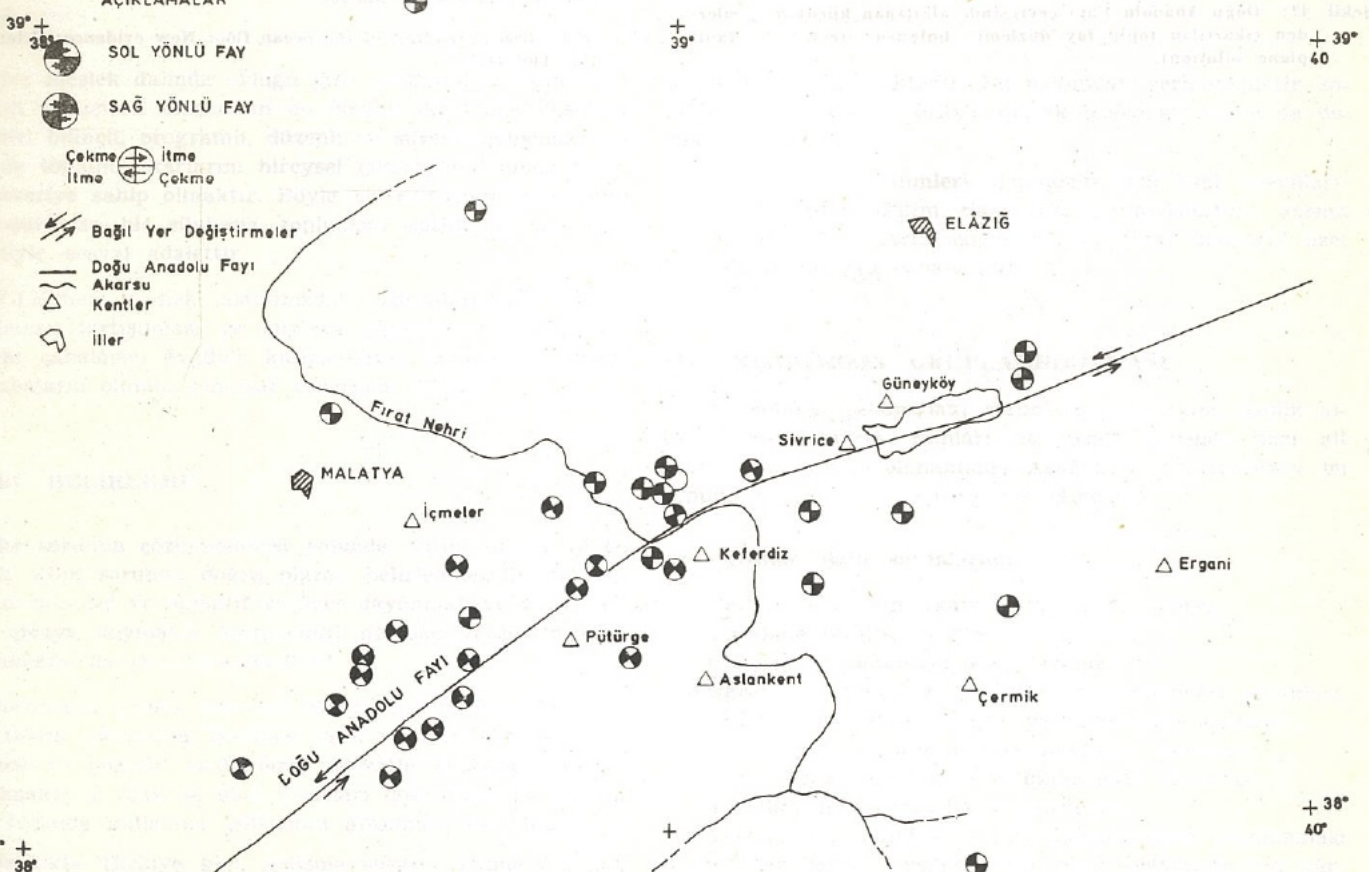


Sekil 9: Siro-Fırat vadisi Doğu Anadolu Fayı boyunca gerilim erki bosalımı.



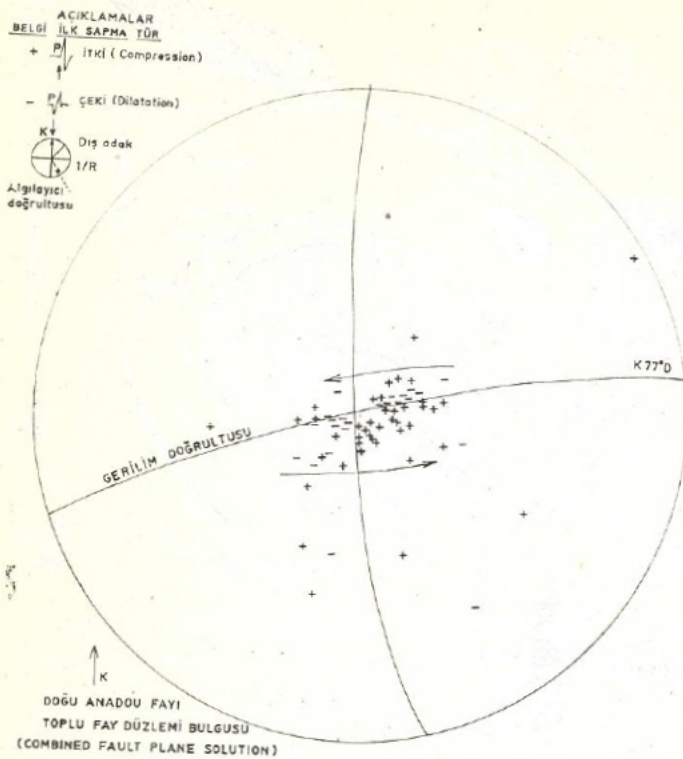
Şekil: 10. Şiro-Fırat vadisi Doğu Anadolu Fayı boyunca gerilim erki boşalımı, (1973-1974).

#### AÇIKLAMALAR



Şekil 11: Doğu Anadolu Fayı boyunca dış odaklardaki ilk itki-çekinin sol atılımlı ana kırıklı uyumluluğu.

## YARARLANILAN BELGELER



**Sekil 12:** Doğu Anadolu Fayı çevresinde algılanan küçükdepremlerden çıkartılan toplu fay düzlemi bulgusu (combined fault plane solution).

- Alsan, E. 1975, Keban baraj bölgesinin depremsel özellikler; İ.T.U. Fen Fakültesi Genel Jeofizik Kürsüsü Lisansüstü tezi, 32 sayfa.
- Arpat, E. 1977, Karakaya barajı çok büyük depremlerle sinanacaktır; Yeryüzü ve İnsan, Şubat sayısı, s. 59-62.
- Arpat, E. ve Saroğlu, F. 1975, Türkiyedeki bazı Önemli genc tектik olaylar; Türkiye Jeol. Kur. Bült., V. 18, sayfa 91-101.
- Combs, J. and Hadley, D. 1977, Microearthquake investigation of the Mesa geothermal anomaly, Imperial Valley, California; Geophysics, V. 42, No. 1.
- Ergin, K., Güçlü U., Uz, Z., 1967, Türkiye ve civarının deprem katalogu (M.S 11-1964) İ.T.U. Arz Fiziği Enstitüsü Yayınları No: 24.
- Ketin, İ., 1977, Türkiye'nin başlıca orojenik olayları ve paleoçoğrafik evrimi: MTA Enstitüsü Dergisi 88, 1-4.
- Khan, M., 1975 The Afro-Arabian rift system; Sci. Prof. Oxf., 62, 207-236
- Mc Kenzie, D.P., 1970, Plate tecotnics of the Mediterranean region; Nature, 224, p. 425-435.
- Mc Kenzie, D.P., 1972, Active tectonics of the Mediterranean region, Geophys., J. Roy. Astr. Soc., 30, P. 109-185.
- Tabban, A. ve Gencoğlu, S., 1975, Deprem ve parametreleri; İmar ve İşkan Bakanlığı Deprem Araştırma Enstitüsü Başkanlığı Yayınları.
- Ücer, S.B., Ayhan, E., Alsan, E., 1974, Preliminary Statistical results, for the preparation of a seismic zoning map of Anatolia, proceeding of the seminar on seismic zoning maps; Unesco, Project Rem/74/009, P. 225-252.
- Vine, F.J., 1966 Spreading of the ocean floor New evidence; Science, 154, 1405-1415.